

01;03;07

## Особенности газодинамики лазерных и люминесцентных кювет с ядерной накачкой при наличии буферных объемов

© А.А. Пикулев

Российский федеральный ядерный центр — Всероссийский научно-исследовательский институт экспериментальной физики,  
607190 Саров, Нижегородская область, Россия  
e-mail: pikulev@expd.vniief.ru

(Поступило в Редакцию 11 февраля 2005 г.)

Рассмотрена нестационарная модель газодинамики герметичных лазерных и люминесцентных кювет, накачиваемых осколками деления урана. Данная модель является обобщением одномерной модели газодинамики в кюветах плоской геометрии [1] на случай кювет с буферными объемами и позволяет проводить расчеты газодинамических процессов в случае ступенчатого распределения энерговклада по длине лазерных кювет.

### Введение

Одной из важных задач при исследовании газовых лазеров и люминесцентных кювет, накачиваемых осколками деления урана [2], является задача исследования термогазодинамических процессов, происходящих в активной среде. Эта задача включает в себя такие вопросы, как определение величины и распределения энерговклада, скорости, плотности, температуры и давления активной среды.

Наиболее ярко влияние газодинамических процессов проявляется в случае, когда величина энергии, вложенная в активную среду, сравнима по величине с начальной внутренней энергией активной среды. В этом случае наблюдаются заметные перераспределения плотности газа, что приводит к существенным изменениям в распределении энерговклада.

Из теоретических моделей газодинамических процессов в герметичных лазерных и люминесцентных кюветах с ядерной накачкой, существующих на данный момент, можно назвать две: 1) приближение малого энерговклада [3], 2) одномерная модель газодинамики в кюветах плоской геометрии [1].

В связи с потенциальностью течений газа для случая малых энерговкладов [3] в рамках первой модели возможно проведение трехмерных расчетов газодинамики с учетом влияния теплопроводности. Существенным недостатком данной модели является весьма жесткое ограничение на величину вложенной энергии.

В рамках второй модели энерговклад прикреплен к лагранжевой координате жидкой частицы и решение газодинамической задачи сводится к квадратурам [1], что является большим достоинством данной модели. К недостаткам можно отнести невозможность адекватного учета теплопроводности и низкую размерность задачи, что не позволяет учитывать неоднородность распределения энерговклада по длине кюветы (т.е. вдоль слоев с делящимся материалом).

В большинстве экспериментальных кювет присутствуют области разгрузки — буферные объемы, в которых

мощность накачки равна нулю [2,4]. Характерной особенностью кювет с буферными объемами является вытекание нагретого газа из активного объема (области, где энерговклад больше нуля) в буфер во время импульса накачки. Очевидно, что кюветы с буферными объемами могут рассматриваться как предельный случай кювет с неоднородным по длине распределением энерговклада.

В данной работе рассмотрена модель газодинамики герметичных кювет с буферными объемами, которая является обобщением модели [1]. В модели предполагается, что в процессе импульса накачки акустические колебания давления пренебрежимо малы, активный объем ограничен плоскопараллельными пластинами с делящимся материалом и, кроме того, расстояние между пластинами существенно меньше длины активного объема. Последнее допущение позволяет пренебречь краевыми эффектами на границе активный объем—буфер и свести решение задачи газодинамики к интегрированию обыкновенного дифференциального уравнения для среднего давления и квадратуре в лагранжевых переменных.

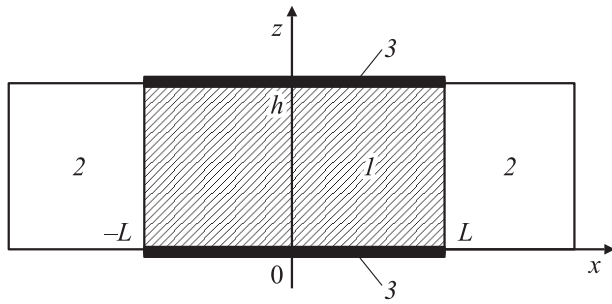
### Основные уравнения

Система уравнений газодинамики идеального нетеплопроводного газа сводится к уравнениям неразрывности и энергии [5] (уравнение Навье—Стокса при построении модели не используем)

$$\begin{cases} \frac{\partial \rho}{\partial t} + (\nabla, \rho \mathbf{u}) = 0, \\ \frac{\partial}{\partial t} \left\{ \frac{p}{\gamma - 1} + \frac{\rho \mathbf{u}^2}{2} \right\} + \operatorname{div} \left\{ \frac{\gamma p}{\gamma - 1} + \frac{\rho \mathbf{u}^2}{2} \right\} = q, \end{cases} \quad (1)$$

где  $\rho$ ,  $\mathbf{u}$ ,  $p$  — плотность, температура, скорость и давление газа;  $\gamma$  — показатель адиабаты;  $q$  — мощность накачки.

Как показано в работе [1], в случае, если длительность импульса накачки  $\tau$  удовлетворяет неравенству  $\tau v \gg L$  (где  $v$  — скорость звука,  $L$  — длина кюветы), в уравнении энергии можно пренебречь кинетической энергией



**Рис. 1.** Схема герметичной кюветы с буферными объемами: 1 — активный объем, 2 — буферный объем, 3 — пластины с делящимся материалом.

движения газа по сравнению с потенциальной. Ниже будем пренебрегать интенсивностью акустических волн давления и считать, что давление однородно в пределах кюветы. Тогда уравнение энергии упрощается [3]

$$\frac{1}{\gamma - 1} \frac{dP}{dt} + \frac{\gamma P}{\gamma - 1} (\nabla, \mathbf{u}) = q, \quad (2)$$

где  $P$  — среднее по объему кюветы давление.

Рассмотрим следующую идеализированную схему кюветы с буферным объемом, которая приведена на рис. 1. Кювета представляет собой прямоугольный параллелепипед, разделенный на две области: активный и буферный объемы. Слой делящегося материала нанесен на пластину, совпадающую с плоскостью  $z = 0$  (кроме того, слой может быть нанесен и на пластину  $z = h$ ), и соприкасается с активным объемом. Ниже будем пренебрегать неоднородностью мощности накачки возле границ слоя делящегося материала и считать, что мощность накачки в активном объеме зависит только от координаты  $z$ . Кроме того, считаем, что длина активного объема существенно больше, чем расстояние между пластинами с урановым топливом, что позволяет пренебречь краевыми эффектами на границе активный объем—буфер.

Легко видеть, что при выполнении вышеприведенных условий плотность и составляющая скорости газа  $w$  вдоль оси  $Oz$  в активном объеме будут только функциями времени и координаты  $z$ , а составляющие скорости  $u$  и  $v$  вдоль координатных осей  $Ox$  и  $Oy$  не зависят от координаты  $z$ . Это является следствием того, что давление в направлении оси  $Oz$  выравнивается значительно быстрее, чем по осям  $Ox$  и  $Oy$ . Отметим, что данные предположения ранее были использованы в работе [3] для установления квазиодномерного характера течения в кюветах плоской геометрии.

Уравнения неразрывности и энергии принимают следующий вид:

$$\begin{cases} \frac{\partial \rho}{\partial t} + \frac{\partial \rho w}{\partial z} + \rho \left\{ \frac{\partial u}{\partial x} + \frac{\partial v}{\partial y} \right\} = 0, \\ \frac{1}{\gamma - 1} \frac{dP}{dt} + \frac{\gamma P}{\gamma - 1} (\nabla, \mathbf{u}) = q. \end{cases} \quad (3)$$

Проинтегрируем второе уравнение системы (3) по всему объему кюветы  $V$

$$\frac{1}{\gamma - 1} \frac{dP}{dt} = \beta \langle q \rangle, \quad \beta = \frac{V_0}{V}, \quad (4)$$

где  $V, V_0$  — полный и активный объемы кюветы соответственно;  $\langle q \rangle$  — среднее значение мощности накачки в активном объеме.

Ниже значения всех газодинамических параметров будем рассматривать исключительно в активном объеме, а  $\langle \dots \rangle$  будет обозначать усреднение параметра по активному объему. Усредняя уравнения (3) по координате  $z$  и используя условия непротекания на стенках кюветы, получаем

$$\begin{cases} \frac{\partial u}{\partial x} + \frac{\partial v}{\partial y} = -\frac{d \ln \langle \rho \rangle}{dt}, \\ \frac{1}{\gamma - 1} \frac{dP}{dt} + \frac{\gamma P}{\gamma - 1} \left\{ \frac{\partial u}{\partial x} + \frac{\partial v}{\partial y} \right\} = \langle q \rangle. \end{cases} \quad (5)$$

Из уравнений (4) и (5), исключая среднюю мощность накачки в активном объеме  $\langle q \rangle$ , находим следующее соотношение между средней плотностью газа в активном объеме и давлением:

$$\langle \rho \rangle P^\varphi = \rho_0 P_0^\varphi, \quad \varphi = \frac{1 - \beta}{\gamma \beta}. \quad (6)$$

Формула (6), полученная в работе [6], устанавливает связь между давлением и средней плотностью в активном объеме, т.е. имеет вид уравнения состояния с „показателем неадиабаты“  $\varphi$ . В отсутствие буферного объема  $\varphi = 0$  и средняя плотность в активном объеме является постоянной.

В качестве небольшого отступления рассмотрим влияние теплопроводности на уравнение состояния (6). Для теплопроводящего газа второе уравнение системы (3) и уравнение (4) принимают вид

$$\begin{cases} \frac{1}{\gamma - 1} \frac{dP}{dt} = \beta \langle q \rangle - \frac{J_S}{V}, \\ \frac{1}{\gamma - 1} \frac{dP}{dt} - \frac{\gamma P}{\gamma - 1} \frac{d \ln \langle \rho \rangle}{dt} = \langle q \rangle - \frac{J_{S_0}}{V_0}, \end{cases} \quad (7)$$

где  $J_S$  — полный поток тепла на стенку кюветы,  $J_{S_0}$  — поток тепла на стенку кюветы в активном объеме ( $\lambda$  — коэффициент теплопроводности)

$$J_S = \iint_S \lambda \frac{\partial T}{\partial n} dS', \quad J_{S_0} = \iint_{S_0} \lambda \frac{\partial T}{\partial n} dS'_0. \quad (8)$$

После исключения из уравнений (7) величины  $\langle q \rangle$  и интегрирования по времени получаем уравнение состояния газа в активном объеме с учетом теплоотвода

$$\langle \rho \rangle P^\varphi = \rho_0 P_0^\varphi \exp \left\{ \frac{\gamma - 1}{\gamma V_0} \int_0^t \frac{J_{S-S_0}}{P} dt' \right\}. \quad (9)$$

где  $J_{S-S_0} = J_S - J_{S_0}$  — поток тепла на стенки кюветы в буферном объеме.

Из формулы (9) следует, что точность уравнения состояния (6) определяется относительной величиной энергии, переданной нагретым газом стенками буферного объема. Вопросы влияния теплопроводности на газодинамические процессы в герметичных кюветах подробно рассмотрены в работах [3,7], и мы на них останавливаться не будем.

Рассмотрим выражения для средней мощности накачки в активном объеме  $\langle q \rangle$ . Как показано в работе [8], в предположении, что  $q$  пропорциональна величине энерговыклада осколков деления в газ, мощность накачки, создаваемая плоским слоем бесконечной протяженности с делящимся материалом, определяется по формуле

$$q = \bar{\rho} \eta(t) q_0 (\langle \bar{\rho} \rangle_z z), \quad \langle \bar{\rho} \rangle_z = \frac{1}{\rho_0 z} \int_0^z \rho(z', t) dz', \quad (10)$$

где  $\eta$  — относительная форма импульса накачки;  $\bar{\rho} = \rho \rho_0^{-1}$  — относительная плотность газа;  $\langle \bar{\rho} \rangle_z$  — среднее значение относительной плотности на отрезке  $[0, z]$ ;  $q_0$  — мощность накачки в максимуме реакторного импульса для локальной плотности  $\bar{\rho} = 1$

$$q_0 = \frac{E_0 L_0 \langle n \rangle}{L_{\text{Gas}}} f, \quad f = f_0 - f_\delta, \quad (11)$$

где  $E_0, L_0$  — средняя энергия деления и пробег среднего осколка в слое делящегося материала;  $L_{\text{Gas}}$  — пробег осколка деления в газе с плотностью  $\rho_0$ ;  $\langle n \rangle$  — среднее по площади урановых слоев количество актов деления в единице объема в единицу времени;  $f$  — безразмерный фактор энерговыклада.

В случае квадратичного закона торможения осколков деления для равномерного распределения плотности газа имеем следующее выражение для фактора энерговыклада [8]:

$$\begin{cases} f(\xi) = h(1 - \xi) \{1 + 2\xi \ln \xi - \xi^2\} / 2, \\ \xi_0 = \frac{\delta_{\text{Al}}}{L_{\text{Al}}} + \langle \bar{\rho} \rangle_z \frac{z}{L_{\text{Gas}}}, \quad \xi_\delta = \xi_0 + \frac{\delta}{L_0}, \end{cases} \quad (12)$$

где  $h$  — единичная функция Хевисайда;  $\delta, \delta_{\text{Al}}$  — толщина уранового слоя и слоя защитной алюминиевой пленки;  $L_{\text{Al}}$  — пробег осколка деления в алюминии.

Из формул (11), (12) видно, что величина энерговыклада зависит только от относительного пробега осколка  $\xi$ , вычисленного в перпендикулярном к поверхности пластины с делящимся материалом направлении  $0z$ , и в лагранжевых переменных является величиной постоянной.

## Переход к лагранжевым переменным

Обратимся к законам движения газа в активной области кюветы. Комбинируя формулы (3), (5), получаем следующие уравнения:

$$\frac{\gamma P}{\gamma - 1} \frac{\partial w}{\partial z} = q - \langle q \rangle, \quad \frac{\partial u}{\partial x} + \frac{\partial v}{\partial y} = -\frac{d \ln \langle \bar{\rho} \rangle}{dt}, \quad (13)$$

где предполагается, что давление, средняя плотность газа  $\langle \bar{\rho} \rangle$  и средняя мощность накачки в активном объеме  $\langle q \rangle$  являются известными функциями времени.

Для решения системы (13) перейдем к лагранжевым переменным [9]. Начальные координаты жидкой частицы обозначим  $(x_0, y_0, z_0)$ , относительная начальная плотность равна единице. Закон сохранения массы жидкой частицы в лагранжевых координатах имеет вид  $dV_0 = \bar{\rho} dV$ , а текущие координаты жидкой частицы можно найти, интегрируя следующие уравнения:

$$\begin{aligned} x &= x_0 + \int_0^t u dt', & y &= y_0 + \int_0^t v dt', \\ z &= z_0 + \int_0^t w dt'. \end{aligned} \quad (14)$$

Из второго уравнения системы (13) и соотношений (14) находим

$$\frac{\partial x}{\partial x_0} \frac{\partial y}{\partial y_0} = \frac{1}{\langle \bar{\rho} \rangle}. \quad (15)$$

Имеем

$$\begin{cases} \bar{\rho} dz = \langle \bar{\rho} \rangle dz_0 \rightarrow \langle \bar{\rho} \rangle_z z = \langle \bar{\rho} \rangle z_0, \\ \frac{1}{\rho} = \frac{\partial V}{\partial V_0} = \frac{1}{\langle \bar{\rho} \rangle} \left\{ 1 + \int_0^t \frac{\partial w}{\partial z_0} dt' \right\}. \end{cases} \quad (16)$$

Из уравнения (10) и первого уравнения системы (16) следует, что мощность накачки в лагранжевых координатах имеет вид

$$q = \bar{\rho} \eta(t) q_0 (\langle \bar{\rho} \rangle z_0), \quad (17)$$

а средняя по активному объему мощность накачки равна

$$\langle q \rangle = \langle \bar{\rho} \rangle \eta(t) \langle q_0 (\langle \bar{\rho} \rangle) \rangle,$$

$$\langle q_0 (\bar{\rho}) \rangle = \frac{1}{h} \int_0^h q_0 (\bar{\rho} z_0) dz_0, \quad (18)$$

где  $\langle q_0 (\bar{\rho}) \rangle$  — среднее по активному объему значение мощности накачки в максимуме импульса в случае равномерного распределения плотности  $\langle \bar{\rho} \rangle$ .

Подставляя соотношения (6) и (18) в формулу (4), получаем систему уравнений для определения средней плотности газа в активном объеме  $\langle \bar{\rho} \rangle$  и давления

$$\frac{1}{\gamma - 1} \frac{dP}{dt} = \beta \langle \bar{\rho} \rangle \eta(t) \langle q_0 (\langle \bar{\rho} \rangle) \rangle, \quad \langle \bar{\rho} \rangle P^\varphi = P_0^\varphi. \quad (19)$$

Уравнение (19) может быть решено численными методами, например методом Рунге–Кутты или интегрированием по выбранному квадратурным формулам с помощью процедуры последовательных приближений [10].

Отметим, что в случае, если в течение всего импульса накачки длина пробега среднего осколка деления в газе не превосходит расстояния между пластинами с делящимся материалом  $h$ , средняя мощность накачки не зависит от изменений плотности газа  $\langle q_T \rangle = \eta(t) \langle q_0 \rangle$ . В этом случае уравнение (19) легко интегрируется

$$P = P_0 + \beta(\gamma - 1) \langle q_0 \rangle \int_0^t \eta(t') dt', \quad (20)$$

где  $P_0$  — начальное давление.

Формула (20) представляет один из двух предельных случаев для скачка давления, рассмотренных в работе [6], и совпадает с уравнением для давления, полученного в приближении малого энергоклада [3].

### Решение в лагранжевых переменных

Рассмотрим решение системы уравнений (13), где давление и средняя плотность газа  $\langle \bar{\rho} \rangle$  являются решениями уравнений (19). Подставляя выражения (18) в первое уравнение системы (13) и учитывая соотношение  $\partial z_0 / \partial z = \bar{\rho} / \langle \bar{\rho} \rangle$ , которое следует из первого уравнения системы (15), находим

$$\frac{\gamma P}{\gamma - 1} \frac{\bar{\rho}}{\langle \bar{\rho} \rangle} \frac{\partial w}{\partial z_0} = \eta(t) \left\{ \bar{\rho} q_0 (\langle \bar{\rho} \rangle) z_0 - \langle \bar{\rho} \rangle \langle q_0 (\langle \bar{\rho} \rangle) \right\}. \quad (21)$$

Решение уравнения (21) при начальном условии  $\rho(0, z_0) = \rho_0$  имеет вид

$$\begin{cases} \int_0^t \frac{\partial w}{\partial z_0} dt = \int_0^t C(z_0, t') \left( \frac{P(t')}{P(t)} \right)^{1/\beta\gamma} dt' - \left\{ 1 - \left( \frac{P_0}{P(t)} \right)^{1/\beta\gamma} \right\}, \\ C(z_0, t) = \frac{\gamma - 1}{\gamma P(t)} \eta(t) \langle \bar{\rho} \rangle q_0 (\langle \bar{\rho} \rangle) z_0. \end{cases} \quad (22)$$

В формуле (22) удобно перейти от интегрирования по времени к интегрированию по функции давления

$$\int_0^t \frac{\partial w}{\partial z_0} dt = \frac{1}{\theta} \int_1^\theta \left\{ \frac{q_0 (\xi^{\beta-1} z_0)}{\langle q_0 (\xi^{\beta-1}) \rangle} - 1 \right\} d\xi, \quad \theta = \left\{ \frac{P}{P_0} \right\}^{1/\beta\gamma}. \quad (23)$$

Из определения параметра  $\theta$  следует, что  $\theta^{\beta-1} = \langle \bar{\rho} \rangle$ . Поскольку зависимость давления от времени известна из решения дифференциального уравнения (19), параметр  $\theta$  является заданной функцией времени, что позволяет численно взять интеграл в правой части формулы (23). С помощью соотношения (23) из уравнений (14) и (16) несложно получить плотность и

координату  $z$  жидкой частицы, а именно:

$$\frac{1}{\bar{\rho}} = \frac{1}{\langle \bar{\rho} \rangle} \left\{ 1 + \int_0^t \frac{\partial w}{\partial z_0} dt' \right\},$$

$$z(z_0, t) = z_0 + \int_0^{z_0} \int_0^t \frac{\partial w}{\partial z_0} dt' dz'_0. \quad (24)$$

Для обратного перехода к эйлеровым (неподвижным) координатам необходимо во всех полученных формулах перейти от лагранжевых  $(x_0, y_0, z_0, t)$  к текущим координатам  $(x, y, z, t)$ . Для этого нужно обратить систему уравнений (14), что при известных траекториях жидких частиц несложно выполнить численно.

Выражение (23) является обобщением формулы, полученной в работе [1] на случай кювет с буферными объемами. Очевидно, что при отсутствии буфера подынтегральное выражение в формуле (23) не зависит от переменной интегрирования, поэтому для плотности и лагранжевой координаты жидкой частицы мы получаем следующие соотношения:

$$\frac{1}{\bar{\rho}} = 1 + \frac{q_0 - \langle q_0 \rangle}{\langle q_0 \rangle} \left\{ 1 - \frac{1}{\theta} \right\}, \quad z = z_0 + \left\{ 1 - \frac{1}{\theta} \right\} \int_0^{z_0} \frac{q_0 - \langle q_0 \rangle}{\langle q_0 \rangle} dz'_0. \quad (25)$$

Формулы (25) совпадают с выражениями, полученными в работе [1].

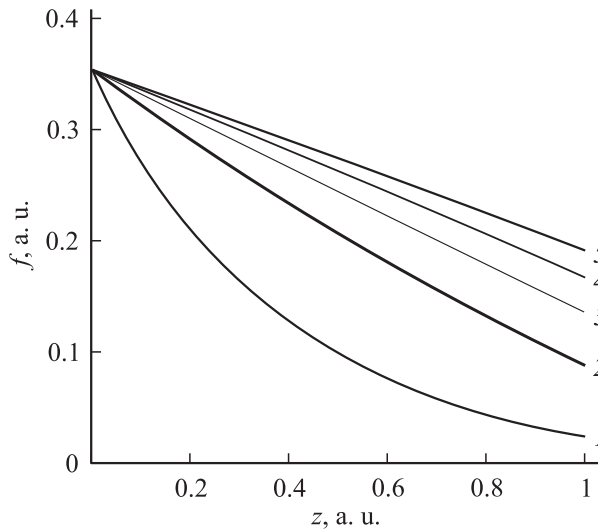
### Результаты расчетов

При исследовании газодинамики и оптики лазерных и люминесцентных кювет наибольший интерес представляют оптические неоднородности и распределение энергоклада по объему кюветы, для чего необходимо знание плотности и фактора энергоклада. Для рассматриваемой модели, как это легко видеть из формул (11), (17), фактор энергоклада является функцией средней плотности и лагранжевой координаты жидкой частицы

$$f = f(\langle \bar{\rho} \rangle z_0). \quad (26)$$

С помощью формул (23), (25) выражение для плотности в лагранжевых координатах (24) приводится к следующему виду:

$$\frac{1}{\bar{\rho}} = \left\{ \frac{P_0}{P} \right\}^{1/\gamma} \left\{ \int_1^\theta \frac{f(\xi^{\beta-1} z_0)}{\langle f(\xi^{\beta-1}) \rangle} d\xi + 1 \right\}, \quad \langle f(p) \rangle = \frac{1}{h} \int_0^h f(p z_0) dz_0. \quad (27)$$



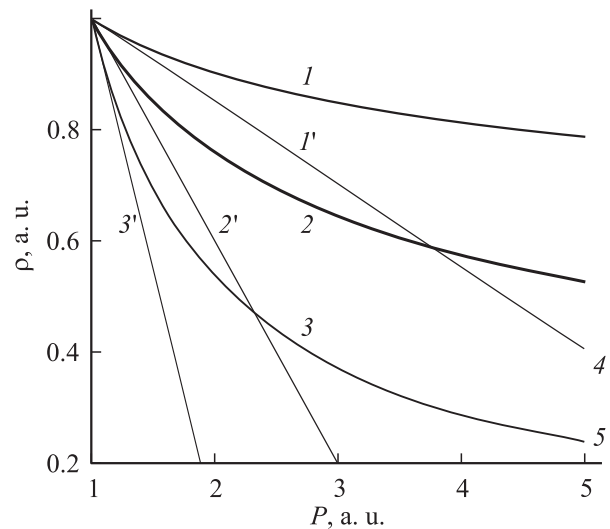
**Рис. 2.** Распределение фактора энерговклада в направлении оси  $Oz$  для параметра  $\beta = 0.4$  (у кривых — значения давления в а. е.).

Из формул (26), (27) видно, что фактор энерговклада и плотность в лагранжевых координатах зависят только от давления газа (кроме этого, конечно, от параметра  $\beta$ , показателя адиабаты  $\gamma$  и начального распределения фактора энерговклада, т. е. от величин, которые являются неизменными в процессе накачки). Поскольку смещение жидких частиц в направлении оси  $Oz$  тоже зависит только от давления (формула (24)), получаем, что и в эйлеровых координатах фактор энерговклада и плотность зависят только от давления. Учитывая, что давление является термодинамическим параметром, наиболее легко измеряемым экспериментально, результаты расчетов плотности и фактора энерговклада удобнее всего представлять в виде параметрических зависимостей от давления. Это правило не относится к составляющим скорости газа, которые, как это видно из соотношений (13), (21), зависят также от формы и абсолютной величины импульса накачки.

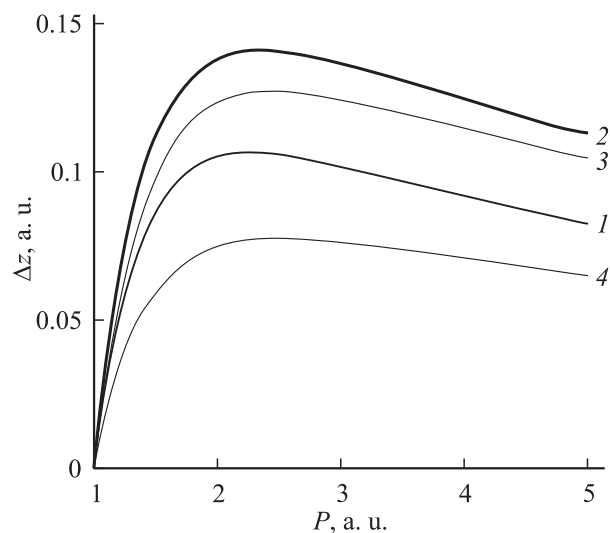
В качестве иллюстрации в данном разделе приведены модельные расчеты распределения плотности газа в зависимости от давления для нескольких значений параметра  $\beta$ : 1, 0.8, 0.6 и 0.4. В расчетах предполагалось, что кювета заполнена инертным газом ( $\gamma = 1.67$ ), в котором пробег среднего осколка деления в два раза превосходит поперечный размер кюветы, т. е.  $R_0 = 2h$ . При  $h = 1$  см это соотношение выполняется для гелия при начальном давлении 7 atm, неона — 1.8 atm, аргона — 1.2 atm и ксенона — 0.65 atm [11]. На нижнюю пластину, совпадающую с плоскостью  $z = 0$ , нанесен слой металлического урана-235 с толщиной  $3 \mu\text{m}$ , поверх которого нанесена защитная алюминиевая пленка толщиной  $0.038 \mu\text{m}$  (эти параметры типичны для энерговыделяющих элементов, используемых в лазерных и люминесцентных кюветах с ядерной накачкой). Вычисление фактора энерговклада проводилось в приближении квадратичного закона торможения осколков деления по формуле (12).

Распределение фактора энерговклада для однородного распределения плотности газа представлено на рис. 2 (кривая 1). На рис. 3 представлены зависимости средней плотности в активном объеме от давления. Для сравнения на рисунке также приведены результаты расчетов для приближения малого энерговклада. Из рисунка видно, что наличие буферного объема приводит к существенному уменьшению плотности в активном объеме с повышением давления: при увеличении давления в пять раз средняя плотность в активном объеме для  $\beta = 0.8$  падает приблизительно на 20%, для  $\beta = 0.6$  — в два раза, а для  $\beta = 0.4$  — более чем в четыре раза.

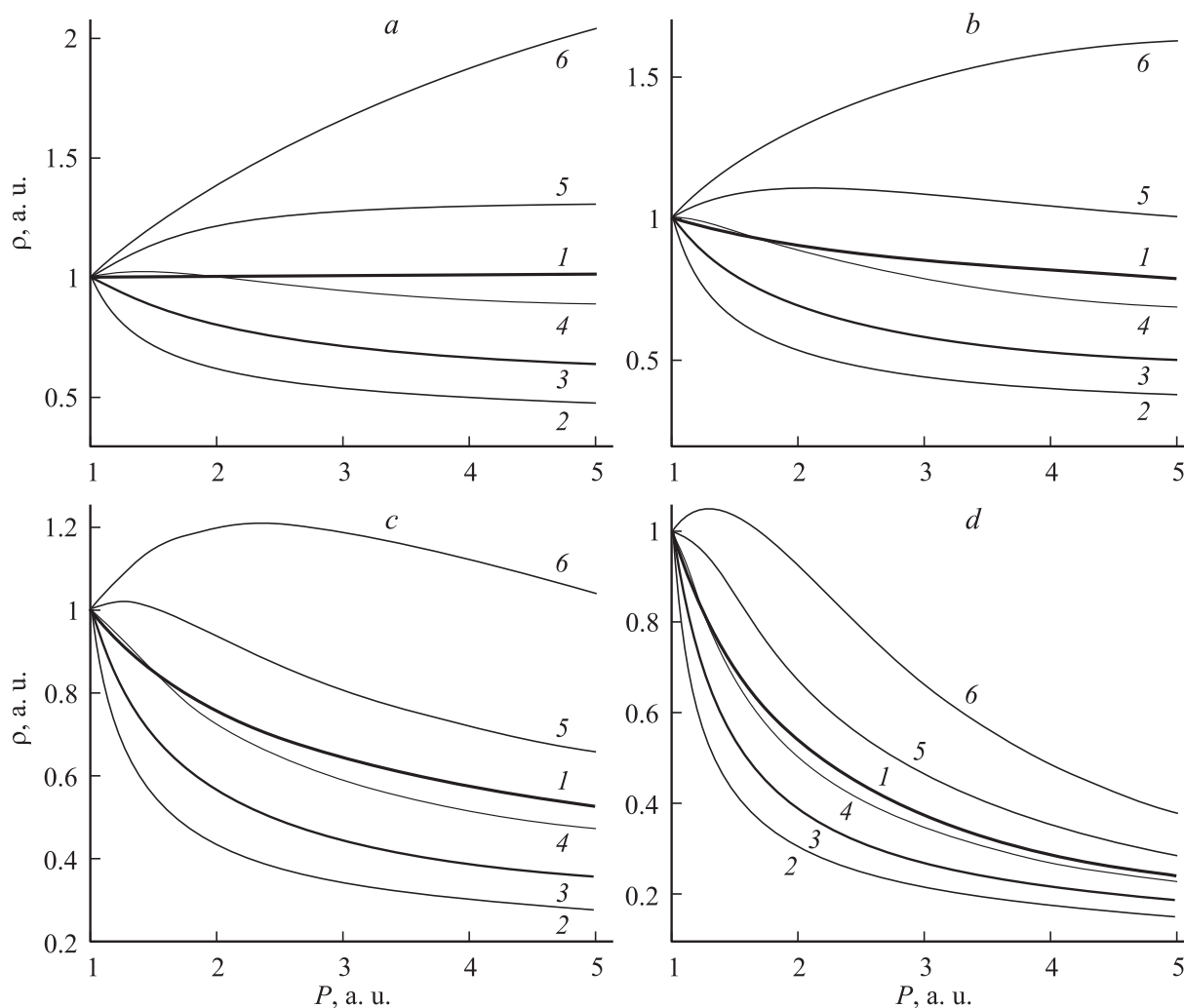
На рис. 4 приведены смещения жидких частиц в направлении оси  $Oz$  в зависимости от их начального



**Рис. 3.** Зависимость средней плотности в активном объеме от давления для нескольких значений параметра  $\beta = 0.8$  (1, 1'); 0.6 (2, 2'); 0.4 (3, 3') (штрихи у цифр расставлены для приближения малого энерговклада).



**Рис. 4.** Смещение жидких частиц в направлении оси  $Oz$  в зависимости от давления для параметра  $\beta = 0.4$ :  $z_0/h = 0.2$  (1), 0.4 (2), 0.6 (3), 0.8 (4).



**Рис. 5.** Распределение относительной плотности газа в зависимости от давления для нескольких значений параметра  $\beta = 1$  (a), 0.8 (b), 0.6 (c), 0.4 (d). Средняя плотность в активном объеме 1,  $z/h = 0$  (2), 0.25 (3), 0.5 (4), 0.75 (5),  $z/h = 1$  (6).

положения для  $\beta = 0.4$ . С повышением давления жидкие частицы сначала быстро смещаются от пластины с делящимся материалом, что происходит приблизительно до относительного давления 2.5. При дальнейшем увеличении давления жидкие частицы начинают двигаться в обратном направлении. Такое поведение связано с выравниванием профиля энерговклада при увеличении давления (рис. 2).

Распределение относительной плотности в активном объеме в зависимости от давления для четырех значений параметра  $\beta = 1, 0.8, 0.6$  и  $0.4$  представлено на рис. 5. Жирной линией на рисунке обозначена средняя плотность в активном объеме (кривая 1). Из рисунка видно, что внутренняя область кюветы в направлении оси  $Oz$  может быть разделена на две области: область, где плотность ниже средней, и область, где плотность выше среднего значения, причем положение границы приблизительно совпадает с серединой кюветы  $z = 0.5$  и слабо зависит от давления (зависимость от давления связана с ненулевым смещением жидких частиц). Для кювет

без буферного объема, как это следует из формул (25), с увеличением до бесконечности движение жидких частиц прекращается и распределение плотности в лагранжевых координатах становится обратно пропорциональным распределению фактора энерговклада [1].

При наличии буферного объема на распределение плотности оказывают влияние два различных процесса: уменьшение средней плотности в активном объеме за счет вытекания газа в буфер и перераспределение плотности газа в поперечном к пластинам с делящимся материалом направлении. В нижней половине кюветы  $0 < z < 0.5$  (область расширения) влияние этих процессов складывается, что приводит к более быстрому уменьшению плотности газа в этой области по сравнению со случаем  $\beta = 1$ . С другой стороны, в верхней половине кюветы  $0.5 < z < 1$  (область сжатия) эти процессы являются конкурирующими: сначала может наблюдаться (при определенных условиях) сжатие газа, которое при увеличении давления обязательно сменяется расширением (рис. 5).

## Заключение

Проведенное в данной работе исследование показало, что наличие буферного объема в лазерных и люминесцентных кюветах с ядерной накачкой оказывает существенное влияние на газодинамические процессы, происходящие в кюветах. Основным эффектом является вытекание газа из активного объема в буфер во время импульса накачки, что приводит к уменьшению средней плотности газа в активном объеме, выравниванию профиля и уменьшению абсолютного значения энерго-вклада.

Предложенная модель является обобщением одномерной модели газодинамики в кюветах плоской геометрии [1] и является справедливой при любых значениях вложенной энергии в активную среду. Это позволяет использовать данную модель для оценочных расчетов газотермодинамических и оптических параметров в лазерных и люминесцентных кюветах с накачкой осколками деления урана при высоких значениях вложенной энергии.

## Список литературы

- [1] *Torczynski J.R.* // J. Fluid Mech. 1989. Vol. 201. P. 167–188.
- [2] *Sinyanskiy A.A., Melnikov S.P.* // Proc. SPIE. 1998. Vol. 3686. P. 43–55.
- [3] *Матвеев В.Ю., Боровков В.В., Мельников С.П.* // ЖТФ. 2001. Т. 71. № 1. С. 79–85.
- [4] *Боровков В.В., Лажинцев Б.В., Мельников С.П., Мочкаев И.Н., Нор-Аревян В.А., Синянский А.А., Федоров Г.И.* // Изв. Академии наук СССР. Сер. физ. 1990. Т. 54. № 10. С. 2009–2015.
- [5] *Лойцянский Л.Г.* Механика жидкости и газа. М.: Наука, 1973.
- [6] *Пикулев А.А.* // Тр. III Междунар. конф. „Проблемы лазеров с ядерной накачкой и импульсные реакторы“. Снежинск, 2003. С. 307–315.
- [7] *Матвеев В.Ю.* // Тр. II Междунар. конф. „Физика ядерно-возбуждаемой плазмы и проблемы лазеров с ядерной накачкой“. Арзамас-16, 1995. Т. 1. С. 410–420.
- [8] *Матвеев В.Ю.* // Тр. отраслевой конференции „Физика ядерно-возбуждаемой плазмы и проблемы лазеров с ядерной накачкой“. Обнинск, 1993. Т. 2. С. 79–88.
- [9] *Ландау Л.Д., Лившиц Е.М.* Теоретическая физика. Т. VI. Гидродинамика. М.: Наука, 1988.
- [10] *Самарский А.А., Гулин А.В.* Численные методы. М.: ГФМЛ. 1989. 432 с.
- [11] *Казазян В.Т., Литвиенко Б.А., Рогинец Л.П., Савушкин И.А.* Физические основы использования кинетической энергии осколков деления в радиационной химии. Минск: Наука и техника. 1972. 248 с.